Fructose 門脈内投与による肝エネルギーレベルの操作

京都大学第2外科

中谷寿男 小澤和恵

佐 藤 俊 英

MANIPULATION OF HEPATIC ENERGY LEVEL BY AN INTRAPORTAL INFUSION OF A FRUCTOSE SOLUTION

Toshio NAKATANI, Kazue OZAWA and Toshihide SATO*

Second Department of Surgery, Kyoto University Faculty of Medicine Department of Pathology, University of Maryland School of Medicine*

ハムスターの門脈内に fructose 溶液を持続投与し、肝臓の energy charge (EC) を操作することを試みた。10, 20, 40% fructose 溶液を0.25ml/100g/15分の速度で門脈内投与すれば肝臓の EC は急速に低下し、15分間の実験中そのレベルを維持したが、10, 20%溶液の静脈内投与では低下しなかった。このことは門脈内に fructose 溶液を投与することにより、他の臓器に影響を及ぼすことなく肝臓のEC を操作しうることを示している。このモデルを使って肝 EC を低下させれば、アンモニアの解毒が遅れることが示された。このモデルは、ある物質を肝臓が代謝する能力と、肝臓のエネルギーレベルとの関係を in vivo において検討するのに有用である。

索引用語:肝エネルギーチャージ, fructose, アンモニア負荷

はじめに

肝臓は代謝の中心的存在であり、非常に多くの内因 性あるいは外因性の物質を処理している。しかも、こ れらの代謝過程のほとんどはエネルギーの産生あるい は消費を伴う反応である。大量の肝切除後には、残存 肝における EC ((ATP+0.5ADP)/ (ATP+ADP+ AMP))は低下する1)~4)。そのために、残存肝における 解毒反応や合成反応、さらには基質の酸化反応も障害 される。このように、肝エネルギーレベルによってそ の代謝過程が左右される物質の、肝臓における代謝能 力を検討するために、in vitro の潅流肝あるいは分離 肝細胞が用いられ種々の実験が行われてきた. In vitro において肝組織あるいは遊離肝細胞を5~10mM の濃 度の fructose 溶液で潅流すると、ATP レベルおよび total adenine nucleotide レベルは大きく低下するこ とが示された5)~9)。また in vivo においても、fructose 溶液を静脈内投与すれば、肝エネルギーレベルは低下

<1987年 5 月11日受理>別刷請求先:中谷 寿男 〒173 板橋区加賀 2 一11— 1 帝京大学救命救急セ ンター することが示されている。そこで、さらに低濃度のfructose 溶液でもそれを門脈内に投与すれば、肝臓以外の組織に影響を与えることなく肝臓のエネルギーレベルを減少させうる可能性が考えられた。そこでこの研究は in vivo モデルにおいて、肝臓以外の臓器に与える影響を最小にしながら肝 EC を操作することを目的に行われた。このようなモデルは、肝臓のエネルギーレベルにその代謝過程が依存する物質、あるいは依存しない物質のいずれにおいても、肝エネルギーレベルとその物質の肝臓における代謝能力との関係をin vivo において検討するのに有意義であろう。さらに、肝機能がエネルギー的に破綻している状態において、種々の物質を肝臓および肝臓以外の臓器がどのような分担で処理するかの関係を調べるのにも適切なモデルといえよう。

実験方法

(a) 動物

体重100~130g の雌雄両性のゴールデンハムスターを用いた。Pentobarbital sodium 50mg/kg の腹腔内投与による麻酔後、ハムスターは38℃の湯で潅流した

ウォーターベッドの上に仰臥位に固定し、体温を38℃ に保って、低体温による EC 低下を防いだ。

- (b) Fructose または glucose 溶液の持続投与
- 10,20あるいは40% fructose 溶液の門脈内投与は,盲腸間膜静脈に刺入した針を通し,また全身投与は大腿静脈より経静脈的に行った。対象としては glucose 溶液の投与を行った。Fructose あるいは glucose 溶液は infusion ポンプを用いて0.25ml/100g 体重/15分の速度で15分間投与した。

(c) アンモニア負荷の予備実験

正常ハムスターに対し、肝エネルギーレベルを低下させないアンモニア負荷量を決めるため、無処置のハムスターに0.25, 1.125, 0.0625mmol/100g 体重の塩化アンモニウム溶液を静注して、その12分後まで影響を検討した。

(d) Fructose の門脈内投与中におけるアンモニア 負荷

Fructose の門脈内投与の開始後3分の時点に0.0625mmol あるいは0.125mmol/0.1ml/100g 体重の塩化アンモニウム溶液を静脈内に投与した。Fructoseの門脈内投与の終了時,すなわち塩化アンモニウムを静脈内投与して12分後に動脈血を採取した。

(e) 検体の採取および測定

実験終了時に開腹し、液体窒素にて冷却したクランプを用いて肝臓の左後葉の凍結切片を採取した。肝のadenine nucleotide および乳酸は酵素法を用いて測定し1012,無機燐は発色法を用いて測定した131. 肝 EC は次の式によって計算した13.

EC= (ATP+0.5ADP)/(ATP+ADP+AMP) 血中アンモニアレベルの測定には市販のキットを用 いて indophenol 反応の変法による変色法によって測 定した¹⁴⁾¹⁵⁾.

(f) 統計処理

統計学的解析は、分散分析によって実験群間に有意 差があると判定された場合においてのみ、modified t-test を用いて 2 群間の有意差を決定した¹⁶⁾.

結 果

(a) Fructose 溶液門脈内投与が肝エネルギー代謝 に及ぼす経時的変化

40%, 20% および10% fructose 溶液の門脈内持続投 与の開始後15分までの肝 EC の経時的変化を図 1a に 示した。肝 EC はともに2.5分後にはすでに40% fructose 溶液で0.69, 20%溶液で0.75, 10%溶液で0.78 程度にまで低下し、15分までほぼそれぞれのレベルを 図 la 40%, 20% および10% fructose 溶液の門脈内投 与中の肝 EC の経時的変化。*, #は投与前値との間 の有意差を, 各点の小さな数字は動物数を示す。

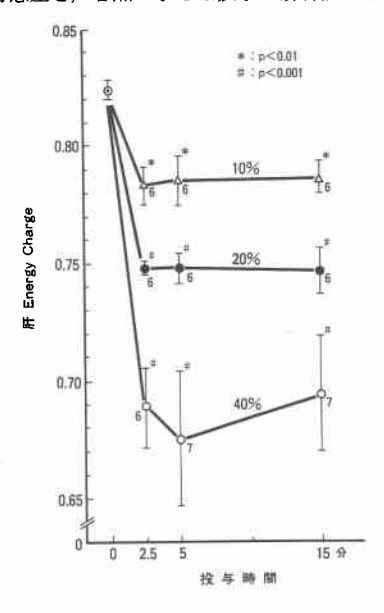
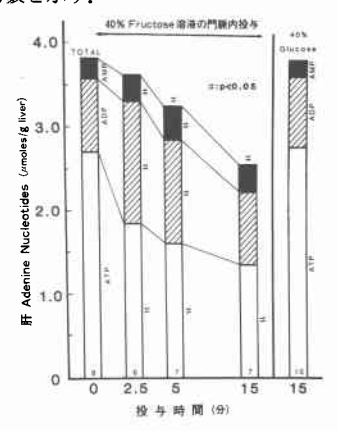


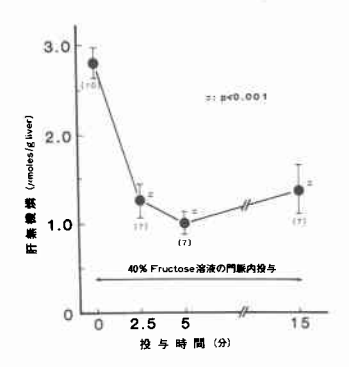
図 1b 40% fructose 溶液の門脈内投与中の肝 adenine nucleotide レベルの経時的変化。右端は 40% glucose 溶液投与15分後の各レベルを示す。#は 投与前値との間の有意差を、各棒グラフの底の数字 は動物数を示す。



保った.

40% fructose 溶液の門脈内持続投与の開始後15分までの肝 adenine nucleotide, 無機燐の変化を図 1b, c に示した. 図 1b に示されたように ATP および total adenine nuceotide は15分までの間, 時間の経過とともに大きく減少し続けた. ADP, AMP は2.5分および5分で有意に上昇した. 門脈内に40% glucose 溶液を投

図1c 40%fructose 溶液の門脈内投与中の肝無機燐の経時的変化. #は無処置群と比較した有意差を示す。括弧内の数値は動脈数を示す。

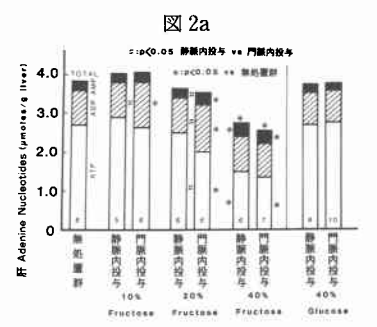


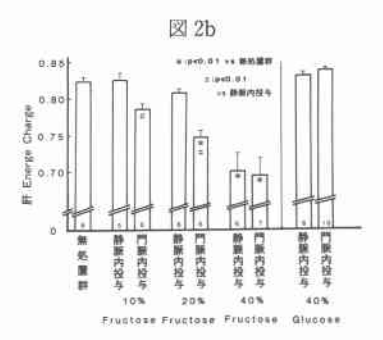
与した場合には ATP, ADP, AMP レベルに変化はなく,したがって EC にも変化はみられなかった。40% fructose 溶液の門脈内投与によって無機燐は2.5分後にすでに大きく低下し15分までそのレベルを保った(図 1c)。

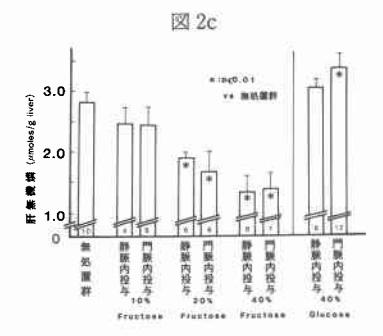
(b) Fructose 溶液の門脈内投与と静脈内投与の肝エネルギー代謝に与える差異

図 2a~2c は10, 20, 40% fructose あるいは40% glucose 溶液を静脈内または門脈内投与した場合の adenine nucleotides, EC および無機燐の差を示した。 10%fructose 溶液を門脈内投与した場合には、静脈内 投与および、無処置群にくらべ、ADP レベルは有意に 上昇していた。20%fructose 溶液を門脈内に投与する と,静脈内投与および無処置群にくらべ,ATPは減少 し, ADP, AMP は増加していた。一方, 40%frucose 溶液では門脈内および静脈内投与の両群において. ATP, total adenine nucleotide は無処置群にくらべ 減少し、AMP は増加していたが、門脈内および静脈内 投与の2群の間に有意差はみられなかった。40%glucose 溶液では、いずれの方法でも、各 adenine nucleotide レベルに無処置群との差はみられなかった (図 2a). 図 2b は肝 EC の比較を示している。10%ある いは20%fructose 溶液を投与された場合には、肝EC は静脈内投与群よりも門脈内投与群において有意に低 下した。しかし、40%fructose 溶液の場合には門脈内 投与、静脈内投与のいずれも無処置群にくらべ大きく 低下していたが、両群間には差を認めなかった。一方、 40%glucose の場合には静脈内投与、門脈内投与いず れの群も無処置群にくらべ、有意な差を示さなかった。 無機燐は投与する fructose 溶液の濃度が増加するに

図 2 10, 20または40% fructose 溶液, 40% glucose 溶液の門脈内または静脈内投与15分後における肝adenine nucleotide レベル(2a), EC(2b), 無機燐(2c)の差, #は門脈内投与と静脈内投与間の有意差を示す。*は無処置群との有意差を示す。







つれて減少した。しかし40%glucose 投与ではどちらの投与方法においても無機燐は減少しなかった(図2c)

(c) アンモニア負荷が正常ハムスターの肝エネルギー代謝に及ぼす影響

次に正常ハムスターにアンモニアを負荷した場合, 肝エネルギーレベル,無機燐や血中アンモニア濃度が どのような経時的変化を示すかを検討してみた。予備 実験において,体重100g 当り0.25mmol の塩化アンモニウムの静脈内投与は致死的であることが判明した。

図 3 無処置のハムスターに0.125mmol/100g 体重の塩化アンモニウム溶液を静脈内 負荷した後の肝 EC (3a), 無機燐 (3b) および血中アンモニアレベル (3c) の経時 的変化.

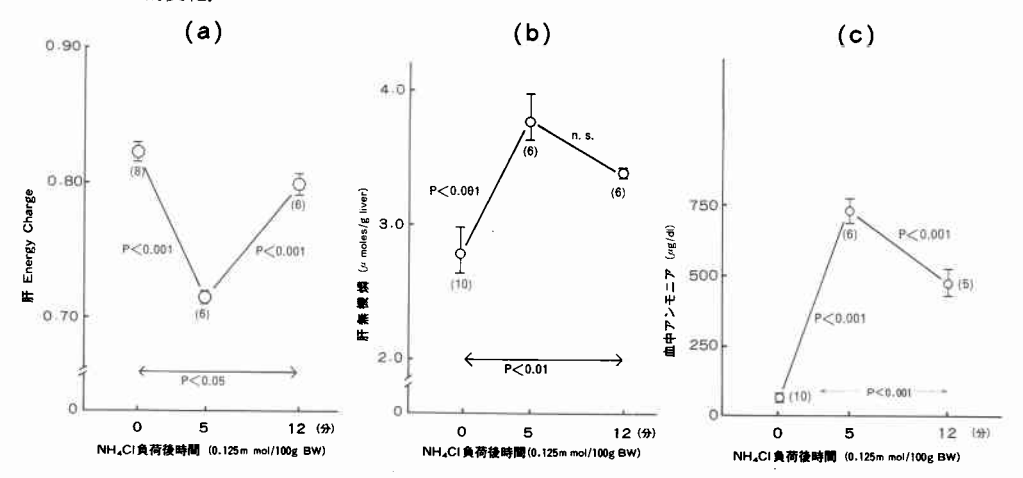


図4 無処置のハムスターに0.0625あるいは0.125mmol/100g 体重の塩化アンモニウム溶液を静脈内負荷し、12分後における肝 EC(4a)、無機燐(4b)、および血中アンモニアレベル(4c)の差異。図 4a の肝 EC には分散分析の結果、有意差はみとめられなかった。

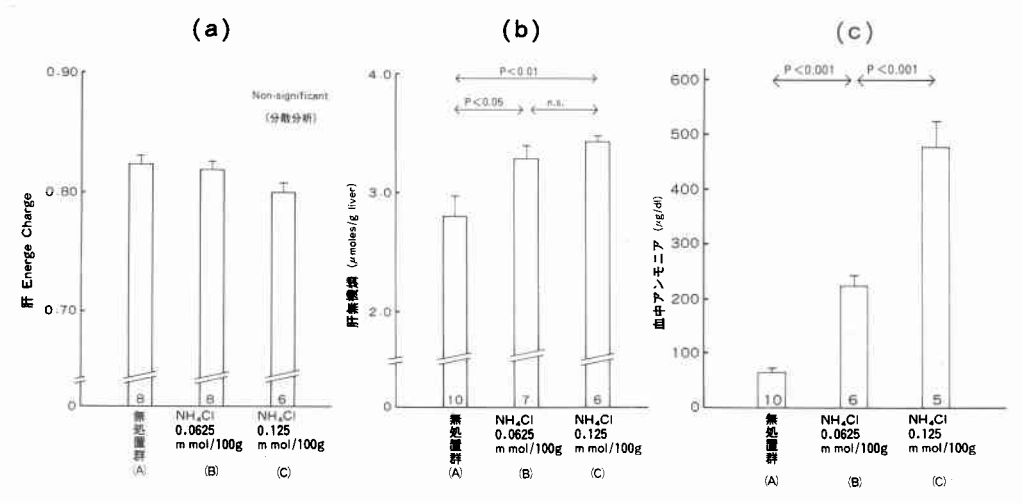


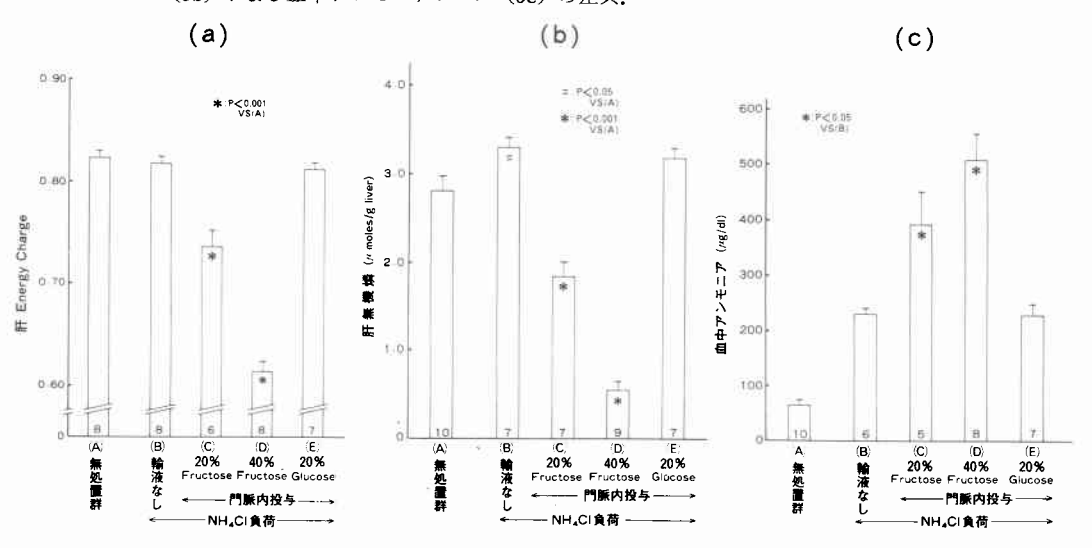
図 $3a \sim 3c$ は glucose や fructose 溶液を投与しない無処置のハムスターに、体重100g あたり0.125mmol の塩化アンモニウム溶液を静注した後の肝 EC、無機嫌、および血中アンモニアレベルの経時的変化を示している。肝 EC は正常の0.82から5 分後には0.71と大きく低下し、その後回復したが、12分後においてもなお前値に比べ有意の低下を示していた(図 3a)。肝無機嫌は5 分後には大きく上昇し、その後わずかに低下したが、12分後にも前値に比べなお有意に高値に示した(図 3

b). 血中アンモニアは5分後には正常の10倍以上と大きく上昇し、その後減少したが、12分後にもなお極めて高い値を示した(図3c). すなわち、アンモニアの代謝には肝のATP消費を必要とし、ATPのADPへの崩壊に伴ってECの低下、無機燐の上昇がみられた。

(d) アンモニア負荷量の差が肝エネルギー代謝に 及ぼす差異

次にアンモニア負荷量の違いによって、12分後のこれらの指標にどのような差異を生ずるかを検討してみ

図 5 Fructose 溶液あるいは20%glucose 溶液の門脈内投与中に, 0.0625mmol/100g 体重の塩化アンモニウム溶液を静脈内負荷し, 12分後における肝 EC (5a), 無機燐 (5b) および血中アンモニアレベル (5c) の差異。



た. 図 $4a \sim 4c$ は無処置のハムスターに体重100g あたり0.0625mmol あるいは0.125mmol の塩化アンモニウム溶液を静注し、12分後の肝 EC、無機燐、および血中アンモニアレベルの差異を示している。12分後の肝 EC には分散分析の結果、有意差がみられなかった(図 4a). 肝無機燐は、塩化アンモニウムを投与された二つの群で、無処置群に比べて有意に増加していた(図 4b)。血中アンモニアレベルは、多量の塩化アンモニウムを投与した群においては、12分後にも10倍以上の高値を示したが、0.0625mmol/100g 体重の負荷では、3.5 倍の増加にとどまった。(図 4c)。すなわち0.0625mmol/100g 体重のアンモニア負荷では12分後には肝EC はほぼ正常値にまで回復しており、血中アンモニアも軽度の上昇にとどまった。

(e) 肝エネルギー低下モデルにおける微量アンモニ ア負荷の影響

次に fructose 門脈内投与により肝エネルギーレベルを低下させた場合に、アンモニア負荷を行えば各指標にどのような差異を生ずるかを検討した。

図 5a~5c は20%, 40% fructose あるいは40% glucose の門脈内持続投与中に体重100g あたり0.0625 mmol の塩化アンモニウム溶液を静注し, その12分後の肝 EC, 無機燐, および血中アンモニアレベルの差を, 糖液の門脈内投与を行なわずに塩化アンモニウムのみ静注した群および無処置対照群と比較したもので

ある. fructose や glucose の門脈内投与開始 3 分後に 塩化アンモニウム溶液を静脈内に投与し、門脈内への 糖液の投与はその後さらに12分間、すなわち計15分間 続けられた。肝 EC は高濃度の fructose 溶液を投与さ れた群で低下したが、fructose 溶液を投与されなかっ た群では無処置群に比べ減少を示さなかった(図 5a). 肝無機燐は高濃度の fructose 溶液を投与された群ほ ど大きく減少した。しかし、糖液を投与されなかった 群では、塩化アンモニウムの負荷後、有意に増加し、 また glucose を投与された群でも、有意差はないもの の増加した(図5b). すなわち, アンモニア負荷による ATP の崩壊により無機燐は増加するが、fructose 投 与により急速な減少を示した。 血中アンモニアレベル は、高濃度の fructose 溶液を投与された群では、糖液 を投与されなかった群、および glucose 溶液を投与さ れた群に比べても大きく増加していた(図5c)。このよ うに glucose の門脈内投与は、肝 EC、無機燐および血 中アンモニアレベルには全く影響を及ぼさなかった が、fructose の投与により、肝エネルギーレベルを下 げておけば、通常では影響の少ない少量のアンモニア 負荷でも、12分後の血中アンモニア停滞量は大きく増 加することが示された.

考察

潅流肝や分離肝細胞を用いた in vitro の実験において、5~10mM の fructose 溶液でこれらを潅流すれば

組織あるいは細胞内のATP, total adenine nucleotide, および無機燐レベルは急速に低下し, 乳酸お よび fructose-1-phosphate のレベルは急速に増加す ることはよく知られている。また一方、正常ラットの 心拍出量はほぼ250ml/min/kg であり、その約40%が 門脈を流れることが報告されている177~190. ゴールデン ハムスターの心係数は報告されていないがラットのそ れと似たような値をとるものと思われる。これらの データから計算すると、もし実験方法の項目で述べた ごとく0.25ml/100g体重/15minの速度で40% fructose 溶液が門脈内に投与されたならば、その fructose の門脈内血中濃度は3.7mM になる. 門脈血 流におけるこの fructose 濃度は、他の潅流実験にある 潅流液の fructose 濃度と比べると比較的低いもので ある719)。この濃度の fructose 溶液を門脈内に投与する ことによって、肝臓のATPレベルは15分後には約 50%にまで減少した。この結果は、Clark らが2.5およ び7.5mM の濃度の fructose 溶液で肝臓を潅流すれば 肝細胞における ATP 濃度をおのおの20%, 65%減少 させたという報告とよく一致する6)。

Glucose 溶液の投与は肝 adenine nucleotide レベルに影響を及ぼさなかった。これは fructokinase が ATP を消費して fructose を fructose-1-phosphate に 燐酸化する反応が、 glucose が glucose-6-phosphate に 燐酸化される hexokinase による反応に比べ、 はるかに速い速度で進行し、その時生じる ADP を ATP に 回復させるために、無機燐が急速に消費されるからである8.

肝 ATP および total adenine nucleotide レベルは 40%fructose 溶液の門脈内投与により15分まで減少し 続けたが, 肝 EC は急速に低下して2.5分後には早くも 0.68にまで低下し、15分までそのレベルを維持した。 また20%, 10% fructose 液液の門脈内投与によっても, 2.5分後には肝 EC は0.75, 0.78にまで低下したが, 15 分までそのレベルを維持した。したがって一定速度で fructose 溶液を門脈内に投与することにより、開始3 分後から15分後までの間, 肝EC レベルをほぼ一定の 値に保つことが可能であった。図2に示されるように 10%あるいは20%の fructose 溶液の静脈内投与に よっては肝 adenine nucleotide および肝 EC を変化さ せることはなかった。しかし一方、同じ濃度であって もこれらを門脈内に投与することによって肝 adenine nucleotide および肝 EC は全身投与の場合に比べ有意 に低下した。20% fructose 溶液を門脈内に投与すれば,

門脈内における fructose 濃度は約1.8mM, 10% fructose なら約0.9mM であると推測される。しかし これを大腿静脈より静脈内投与を行えば、門脈内にお ける fructose 濃度は直接門脈内に投与した場合に比 べ当然のことながら低いと考えられる。事実,20% fructose 溶液を同じ速度で静脈内に投与しても、肝 ECに影響を及ぼすことはなかった。したがってこの 場合の門脈内の fructose 濃度は、肝 EC に影響した 10%fructose の門脈内投与の場合の0.9mM よりさら に低いものと考えられる. 静脈内投与の場合には末梢 動脈内および門脈内の fructose 濃度はほぼ同程度と 考えることができるので、20%fructoseの静脈内投与 によっては、肝臓以外の臓器のエネルギーレベルにも 影響を及ぼすことはないと言える。 さらに20% fructose 溶液を門脈内投与した場合には、門脈内に投 与した fructose のかなりの部分が肝臓によって摂取 されるので、肝臓で摂取されずに肝静脈へ入り、大循 環に流れる fructose の濃度ははるかに低いものと考 えられる. 肝臓は全身投与された fructose の75%を摂 取するといわれている8)。すなわち、肝臓における摂取 のために, 門脈内投与例における末梢動脈内の fructose 濃度は、同じ濃度の fructose 溶液を静脈内投 与した場合に比べてさらに低下していると思われたの で、20% fructose 溶液を門脈内に投与した場合には、 肝臓以外の他の臓器の EC には変化はないものと推測 される。また、10%fructose溶液を門脈内投与した場 合には、肝 EC はわずかに低下したが、一方、動脈血の fructose 濃度は門脈血のそれよりもはるかに低いもの と考えられるので、この場合他の臓器におけるエネル ギー欠乏は起こらないと考えられる。 したがって低濃 度の fructose 溶液を門脈内投与することによって, 肝 臓の EC のみを他の臓器の EC に変化を及ぼすことな く操作することが可能であると考えられた。このモデ ルを用いれば図3~5に示されたごとく,肝臓のエネ ルギーレベルによってその代謝が左右されるような物 質の代謝能力と肝 EC との関係を, in vivo において研 究することが可能である.

体重100g あたり0.25mmol の塩化アンモニウムを腹腔内投与することによっては、塩化アンモニウムの毒性はみられなかったと報告されている²⁰⁾²¹⁾。しかし今回の予備実験では、同じ量の塩化アンモニウムでも静脈内に投与すれば致死的であった。体重100g あたり0.125mmol の塩化アンモニウムを静脈内投与したところ、塩化アンモニウムは肝臓のエネルギーを消費し

て代謝されるために肝 EC は減少し、無機燐は増加した(図3). 0.0625mmol/100g 体重と、さらに半量の塩化アンモニウムを静脈内投与した場合には、肝エネルギーレベルは影響を受けなかったし、負荷12分後の血中アンモニアレベルは3.5倍に上昇したのみであった(図4). しかしながら20%の fructose 溶液を門脈内投与することにより肝 EC レベルを0.75に低下させた場合には、肝臓における塩化アンモニウムの解毒反応は有意に遅延し、その結果、血中アンモニアレベルは6 倍と高値に保たれた(図5c).

この場合のように、この実験モデルはある物質の肝 臓における代謝過程が,肝エネルギーレベルに依存す るものかどうかを判断するのに用いることができる. Fructose そのものは非生理的な物質ではないが、今回 の実験に用いられたような速度で、fructose 溶液を門 脈内に投与することは非生理的であり、肝臓において 乳酸血症を生じた、したがって、fructose を投与する ことによって、直接に代謝上の影響を受ける物質の肝 臓における代謝能力を調べるにはこのモデルは適当で はない. しかし、例えば細網内皮系貪食能の実験など の目的に用いるなら、このモデルは、in vivo において、 肝臓がある物質を代謝あるいは処理する能力と肝 EC との間の関係を調べるのには有用である。また肝機能 がエネルギー的に破綻している状態において、肝臓お よび肝臓以外に臓器がどのような関係である物質を代 謝する能力を分担するかを調べるには適したモデルで ある.

結 論

- (a) 40%, 20%および10%fructose 溶液を0.25ml/100g 体重/15分の速度で門脈内に持続投与することにより、肝EC は2.5分後におのおの0.69, 0.75および0.78にまで大きく低下し、15分までそのレベルを維持した。
- (b) しかし, 10%または20%の fructose 溶液をおなじ速度で静脈内に持続投与した場合には肝 EC は低下しなかった。
- (c) この結果は、10%あるいは20%fructose 溶液を 門脈内に投与しても肝臓以外の組織の EC レベルを下 げないことを示唆している。
- (d) 20%fructose 溶液の門脈内持続投与によって, 肝臓の EC が0.75程度の低いレベルに維持されている 場合にはアンモニアの解毒は大きく遅延した.
- (e) この実験モデルは、肝臓においてある物質を代謝する能力と肝EC との関係を in vivo において検討

するのに有用である。そして肝臓がエネルギー危機に陥った場合に、肝臓および肝臓以外の組織が、ある物質を代謝処理するのにどのような役割分担をするかを、in vivo において調べることができる。

本研究の要旨は68th Federation of American Societies for Experimental Biology (84年4月)で発表した。本研究は University of Maryland, Department of Pathology, Shock Laboratory で行った。本実験の機会を与えていただいた Dr. B.F. Trump に感謝致します。

文 献

- Atkinson DE: Enzymes as control element in metabolic regulation. Edited by Boyer PD. The Enzymes. New York, Academic Press, 1970, p461—489
- Kamiyama Y, Ozawa K, Honjo I: Changes in mitochondrial phosphorylative activity and adenylate energy charge of regenerating rabbit liver. J Biochem 80: 875—881, 1976
- Nakatani T, Ozawa K, Asano M et al: Changes in predominant energy substrate after hepatectomy. Life Sci 28: 257—264, 1981
- Nakatani T, Ozawa K, Asano M et al: Differences in predominant energy substrate in relation to resected hepatic mass in the phase immediately after hepatectomy. J Lab Clin Med 97: 887—898, 1981
- 5) Smith CM, Rovano LM, Raivio KO: Fructose-induced adenine nucleotide catabolism in isolated rat hepatocytes. Can J Biochem 55: 1237—1240, 1977
- 6) Clark DG, Filsell OH, Topping DL: Effects of fructose concentration on carbohydrate matabolism, heat production and substrate cycling in isolated rat hepatocytes. Biochem J 184: 501 -507, 1979
- 7) Iles RA, Griffiths JR, Stevens AN et al: Effects of fructose on the energy metabolism and acid-base status of the perfused starved-rat liver. Biochem J 192: 191—202, 1980
- Berghe G: Metabolic effects of fructose in the liver. Edited by Horecker BL, Stadtman ER, Current Topics in Cellular Regulation. Vol 13, New York, Academic press, 1978; p97—135
- Topping DL, Mayes PA: Effects of fructose concentration on adenine nucleotide concentrations and pyruvate dehydrogenase activity of perfused rat liver. Biochem Soc Trans 5:1001 -1002, 1977
- Lmaprecht W, Trautschold I: Adenosine-5'triphosphate determination with hexokinase in

- glucose-6'-phosphate: Dehydrogenase. Edited by Bergmeyer HU, Methods of Enzymatic Analysis. New York, Academic Press, 1974, p2101—2109
- 11) Jaworek D, Gruber W, Bergmeyer HU: Adenosine-5'-diphosphate and adenosine-5'monophosphate. Edited by Bergmeyer HU, Methods of Enzymatic Analysis. New York, Academic Press, 1974, p3127—2131
- 12) Gutmann I, Wahlefeld AW: L-(+)-lactate, determination with lactate dehydrogenase and NAD. Edited by Bergmeyer HU. Methods of Enzymatic Analysis. New York, Academic Press, 1974, p1464—1468
- 13) 小沢高将, 浅井淳平, 内海耕慥: 無機リン(Pi)の 測定法. ミトコンドリア, 東京, 南江堂, 1971, p368-369
- 14) McCullough H: A simple micro technique for the determination of blood ammonia and a note on the effect of exercise. Clin Chim Acta 19: 101-105, 1968
- 15) McCullough H: The determination of ammonia in the whole blood by a direct colorimetric method. Clin Chim Acta 17: 297—304, 1967
- 16) Wallenstein S, Zucker CL, Fleiss J: Some statistical methods useful in circulation research. Circ Shock 8: 503—517, 1981
- 17) Sato T, Isoyama T, Tanaka J et al: Changes in hemodynamics in rats following live E. Coli

- injection. Edited by Reishard SM, Fletcher JR. Advances in Shock Research. Vol 7, New York, Alan R. Liss 1982, p25—42
- 18) Sato T, Tanaka J, Cottrell JR et al: Comparison of systemic hemodynamic responses in the rat following a sonicated, heat-killed, and live E. Coli injection. Edited by Reichard SM, Wolfe RR. Advances in Shock Research. Vol 9, New York, Alan R. Liss, 1983, p115—123
- 19) Sato T, Hirai F, Nakatani T et al: Direct measurement of hepatic blood flow in rats using the thirmodilution method. Circ Shock 13: 103, 1984
- 20) Chico E, Olavarria JS, Catro IN: Ammonia overloading in hepatocytes isolated from liver of fetal and adult rats. Biochim Biophys Acta 586: 481—491, 1979
- 21) Brosnan JT, Williamson DH: Mechanisms for the formation of alanine and aspartate on rat liver in vivo after administration of ammonium chloride. Biochem J. 138: 453—462, 1974
- 22) Nakatani T, Tanaka J, Sato T et al: The pathophysiology of septic shock: Studies of raticulo-endothelial system function and liver high-energy metabolism in rats following sublethal and lethal Escherichia coli injection. Edited by Reichard SM, Fletcher JR. Advances in Shock Research. Vol 7, New York, ALan R. Liss, 1982, p147—157